

# Séance 2

## Géométrie Epipolaire

①

### ① Géométrie projective

(NB: - on note  $A^T$  la transposée  
-  $\wedge$  est le produit vect.  
- par rapport au cours, les  $v$  ont disparu)

#### 1.1) $\mathbb{P}^2$ (plan projectif)

- Point:  $(u, v) \rightarrow m = (u, v, 1)^T$  à  $\lambda \neq 0$  près (coord. homogènes)
- Direction:  $u\vec{i} + v\vec{j} \rightarrow m = (u, v, 0)^T$  (point à l' $\infty$ )
- Droite  $\ell = (a, b, c)^T$  avec  $m \in \ell \Leftrightarrow m^T \ell = 0$

#### Propriétés :

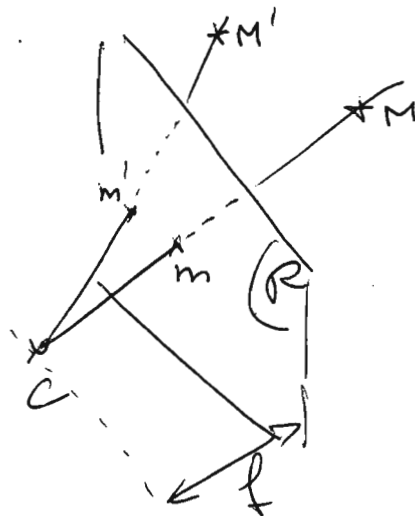
- i)  $m_1$  et  $m_2$  donnés,  $m_1 \wedge m_2$  est la droite  $(m_1, m_2)$
- ii)  $\ell_1$  et  $\ell_2$  donnés,  $\ell_1 \wedge \ell_2$  est leur intersection même si elles sont  $\parallel$ .
- iii)  $\ell_\infty = (0, 0, 1)$  est la droite à l' $\infty$  ( $(u, v, 0)^T \in \ell_\infty$ )

#### 1.2) $\mathbb{P}^3$ espace projectif

- Points  $M = (X, Y, Z, T)^T$  à  $\lambda \neq 0$  près
- $T = 0 \rightarrow$  points à l' $\infty$  (directions)
- $\pi = (a, b, c, d)^T$  plan ( $M \in \pi \Leftrightarrow M^T \pi = 0$ )
- Droites: coordonnées de Plücker (pas vu en cours)

### 2) Caméra

Le modèle le + simple (pinhole camera)



$R$ : rétine

$C$ : centre optique

$M$ : point 3D

$m$ : image 2D

$f$  = distance focale

(i) Cas où  $C=0$ ,  $\mathcal{R}=\{z=1\}$  et le point  $(x,y,1)$  de  $\mathcal{R}$  est numérisé en  $(x,y)$  par le capteur.

Alors :  $u = x/z$ ,  $v = y/z$  ce qu'on peut écrire

$$\underbrace{m}_{3 \times 1} = \underbrace{\begin{pmatrix} I & 0 \end{pmatrix}}_{3 \times 4} \underbrace{M}_{4 \times 1} \text{ en coordonnées homogènes}$$

(ii) Si maintenant  $\mathcal{R}=\{z=f\}$  (focale  $\neq 1$ ) alors

$$m = PM \text{ avec } P = \begin{pmatrix} f & 0 & 0 \\ 0 & f & 0 \\ 0 & 0 & 1 \end{pmatrix} \text{ car } u = f \frac{x}{z}, v = f \frac{y}{z}$$

(iii) Si on tient compte maintenant du changement de repère du capteur :  $u = d_u \frac{x}{z} + u_0$ ,  $v = d_v \frac{y}{z} + v_0$

$$\text{soit } P = \begin{pmatrix} d_u & 0 & u_0 \\ 0 & d_v & v_0 \\ 0 & 0 & 1 \end{pmatrix} \begin{vmatrix} 0 \end{vmatrix} \quad (\text{NB: } d_u = f / \text{larg. pixel}, d_v = f / \text{haut. pixel})$$

(iv) Maintenant l'observateur se déplace  $\rightarrow$   $\begin{cases} R & \text{rotation} \\ t & \text{translation} \end{cases}$

$$m = PM \text{ avec } P = K[R|t]$$

$$K = \begin{pmatrix} d_u & 0 & u_0 \\ 0 & d_v & v_0 \\ 0 & 0 & 1 \end{pmatrix}$$

$\rightarrow$  6 param. extrinsèques

$\rightarrow$  4 param. intrinsèques

### 3) Relations utiles

(NB: si pixels non rectangls (ie.  $\square \neq \square$ )  
alors un 5<sup>e</sup> param. intrins.)  
(NB: On a négligé la distortion)

i). Rayon de m :

- en coord. non homogènes pour  $M$  et avec  $P = (A|b)$

$$\lambda m = AM + b$$

et donc

$$M = \lambda A^{-1}m - A^{-1}b$$

- en particulier, on a (avec  $\lambda=0$  et  $\lambda=\infty$ ) :

$$C = -A^{-1}b \quad (\text{coord. non homog.})$$

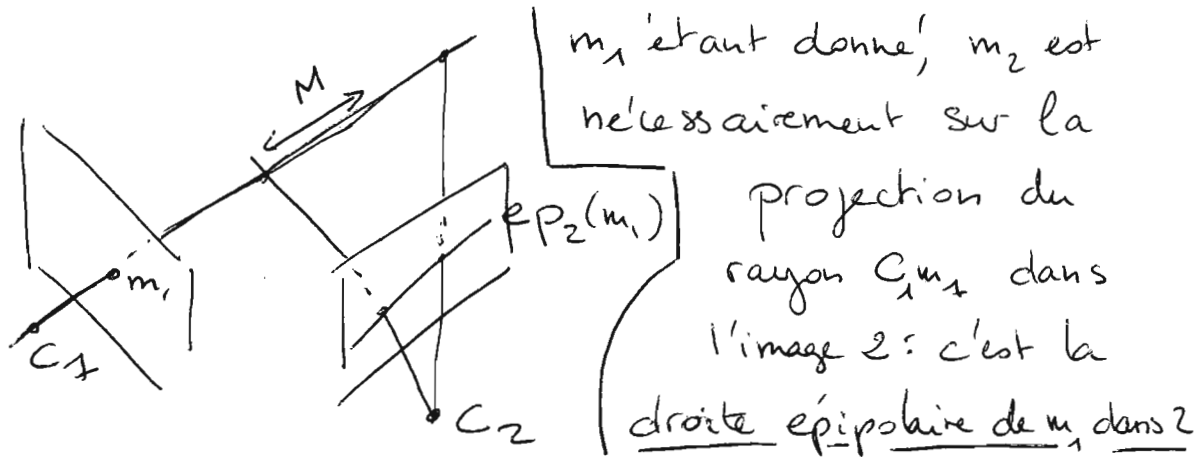
$A^{-1}m$  est la direction du rayon

ii) Les points du plan focal (plan // à  $\mathcal{R}$  passant par  $C$ ) se projettent à l'infini, donc en  $(u, v, 0)^T$   
→ la troisième ligne de  $P$  est l'équation du plan focal. En particulier :

la troisième ligne de  $A$  est la normale à  $\mathcal{R}$

### 4) Géométrie épipolaire

On a maintenant 2 caméras  $P_1$  et  $P_2$



$m_1 \text{ connu} \rightarrow m_2 \in ep_2(m_1) = P_2(C_1 m_1)$

Si  $P_i = (A_i | b_i)$  alors :

• on cherche deux points du rayon  $C_1 m_1$ , que l'on projette

$$\begin{cases} \times C_1 = \begin{pmatrix} -A_1^{-1} b_1 \\ 1 \end{pmatrix} \rightarrow e_2 = P_2 C_1 = \begin{bmatrix} -A_2 A_1^{-1} b_1 + b_2 \\ 1 \end{bmatrix} = e_2 \\ e_2 \text{ est l'épipôle } (\forall m_1, e_2 \in ep_2(m_1)) \\ \times M_\infty = \begin{pmatrix} A_1^{-1} m_1 \\ 0 \end{pmatrix} \rightarrow m_{2\infty} = P_2 M_\infty = A_2 A_1^{-1} m_1 \end{cases}$$

• on a alors  $ep_2(m_1) = e_2 \wedge m_{2\infty} = [e_2]_\wedge A_2 A_1^{-1} m_1$   
en posant  $\begin{bmatrix} a \\ b \\ c \end{bmatrix}_\wedge = \begin{pmatrix} 0 & b & -c \\ -b & 0 & a \\ c & -a & 0 \end{pmatrix}$

D'où finalement la relation symétrique :

$m_2 \in ep_2(m_1) \Leftrightarrow m_1 \in ep_1(m_2) \Leftrightarrow m_2^T F_{21} m_1 = 0$   
avec  $F_{21} = [e_2]_\wedge A_2 A_1^{-1}$  (matrice fondamentale)

## I | Mesure de photo consistance

- la plus courante est la corrélation croisée normalisée (NCC)
- Soit  $W$  un voisinage autour des pixels:

$$\begin{cases} \langle I_i, m_i, I_j, m_j \rangle = \frac{1}{|W|} \sum_{w \in W} \left[ (I_i(m_i + w) - \bar{I}_i(m_i)) \right. \\ \quad \left. \times (I_j(m_j + w) - \bar{I}_j(m_j)) \right] \\ \text{avec } \bar{I}_i(m_i) = \frac{1}{|W|} \sum_{w \in W} I_i(m_i + w) \end{cases}$$

$$\text{puis } \boxed{NCC(I_i, m_i, I_j, m_j) = \frac{\langle I_i, m_i, I_j, m_j \rangle}{(\langle I_i, m_i, I_i, m_i \rangle \langle I_j, m_j, I_j, m_j \rangle)^{1/2}}}$$

On a  $-1 \leq NCC \leq 1$ . Plus  $NCC$  est grande, plus les "textures" autour de  $m_i$  et  $m_j$  sont "similaires".

- Si deux images sont reliées par une transformation affine,  $NCC = 1$
- Limitations:
  - invariante seulement par translation
  - pb de l'ouverture: ambiguïtés, par ex. le bords d'un contour

## ~~II | Points "saillants"~~

### ~~1- Points de Harris:~~

~~- $G_\sigma$  gaussienne
- $H = \begin{pmatrix} (I_x)^2 * G_\sigma & (I_x I_y) * G_\sigma \\ (I_x I_y) * G_\sigma & (I_y)^2 * G_\sigma \end{pmatrix}$~~

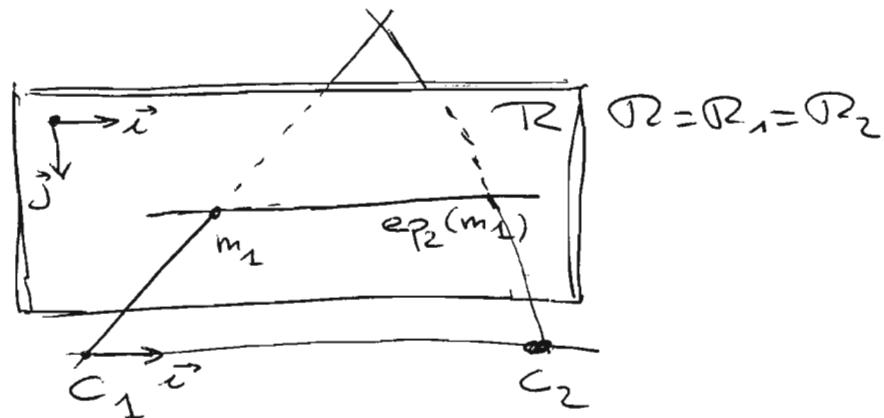
~~tenseur de structure. ( $I_x, I_y$  dérivées)~~

1) Rectification

On se place ici dans le cas de deux caméras de matrices  $P_i = (A_i | b_i)$  connues

1.1) Configuration canonique

Supposons que les deux caméras partagent la même rétine, le même repère sur la rétine, et la direction  $\vec{C_1 C_2}$  comme horizontale de ce repère ( $\vec{C_1 C_2}$  est donc une des directions de la rétine).  
Les épipolaires sont alors les horizontales !



Une telle configuration est très confortable :

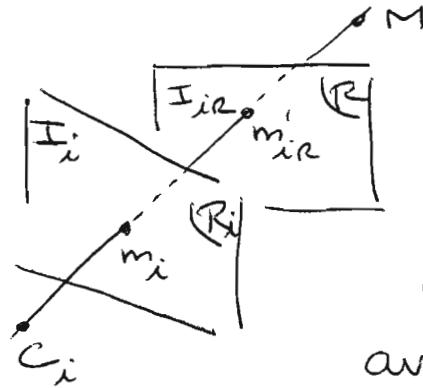
- $(u_1, v_1)$  est associé à  $(u_2, v_1)$
- on appelle  $|d = u_2 - u_1|$  la disparité
- apparier les images revient à estimer  $d(u, v_1)$
- les fenêtres de corrélation se correspondent d'avantage.

On va voir qu'il est toujours possible (sauf cas dégénérés) de se ramener a posteriori à ce cas canonique  $\rightarrow$  c'est la rectification

## 1.2) Principe

(2)

Il suffit de remarquer qu'on peut à posteriori calculer l'image qui aurait été obtenue en changeant la rétine d'un appareil, et ce, sans connaître la position 3D des points



Le point  $M$  a donné naissance à  $I_i(m_i)$  dans  $R_i$ .

Avec  $R$  au lieu de  $R_i$ , il aurait généré  $I_r(m_{ir}) = I_i(m_i)$

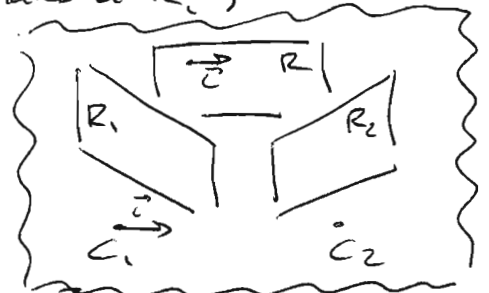
avec  $m_{ir} = (C_m) \cap R$

## 1.3) Calcul (NB: les points 3D sont ici en coord. non homogènes)

### a) Plan $R$

On choisit pour  $R$  le plan (i) contenant  $\vec{C_1 C_2}$  et la direction  $R_1 \cap R_2$  et (ii) passant par l'origine :

$$\begin{aligned} \bullet \vec{x} &= \frac{\vec{C_1 C_2}}{\|\vec{C_1 C_2}\|} & (\text{Rappel: } C_i = -A_i^T b_i) \\ \bullet \vec{n}_i &= 3^{\text{ème}} \text{ ligne de } A_i \text{ (normales à } R_i) \\ \bullet \vec{j}' &= \vec{n}_1 \wedge \vec{n}_2 \\ \bullet \vec{k} &= \vec{x} \wedge \vec{j}' / \|\vec{x} \wedge \vec{j}'\| \\ \bullet \vec{j} &= \vec{k} \wedge \vec{x} \end{aligned}$$



$R$  est alors le plan  $\{M \cdot \vec{k} = 0\}$

### b) Passage de $m_i = (u_i, v_i, 1)^T$ à $m_{ir} = (d, \beta)$ dans $R$

Il suffit d'intersecter  $(C_i m_i)$  avec  $R$  :

résoudre  $\begin{cases} M = \lambda A_i^T m_i + C_i \\ M \cdot \vec{k} = 0 \end{cases}$  en  $\lambda$ , puis en  $M$

Alors  $\alpha = M \cdot \vec{x}, \beta = M \cdot \vec{j}$

# c) Projections

(3)

- En réalité : (i) pour chaque image, on ramène  $(d, \beta)$  à des intervalles  $[0, w] \times [0, h]$  (si les images initiales sont de dimension  $w \times h$ )
- (ii) on remplit  $I_{iR}$  à partir de  $I_i$ . Il faut savoir passer de  $m_{iR}$  à  $m_i$

Au total :

\* Pour  $i=1,2$

- calculer  $m_{iR} = (d, \beta)$  pour  $m_i = (0,0), (0,h), (w,0)$  et  $(w,h)$
- mémoriser les valeurs extrêmes  $d_{\min}^i, d_{\max}^i, \beta_{\min}^i, \beta_{\max}^i$

$$\beta_{\min} = \min(\beta_{\min}^1, \beta_{\min}^2), \quad \beta_{\max} = \max(\beta_{\max}^1, \beta_{\max}^2)$$

\* Pour  $i=1,2$

(NB: intervalle commun pour  $\beta$ )

Pour  $u_R = 0 \rightarrow w$  et  $v_R = 0 \rightarrow h$

$$\begin{cases} d = d_{\min}^i + (d_{\max}^i - d_{\min}^i) \frac{u_R}{w} \\ \beta = \beta_{\min} + (\beta_{\max} - \beta_{\min}) \frac{v_R}{h} \end{cases}$$

$$- M = d \vec{i} + \beta \vec{j} \quad (\text{NB: point 3D!})$$

$$- m_i = A_i M + b_i = (u_i, v_i, w_i)^T$$

$$- I_{iR}(u_R, v_R) \leftarrow I_i\left(\frac{u_i}{w_i}, \frac{v_i}{w_i}\right)$$

(NB: - interpoler dans  $I_i$

- attention: on peut tomber en dehors de l'image)